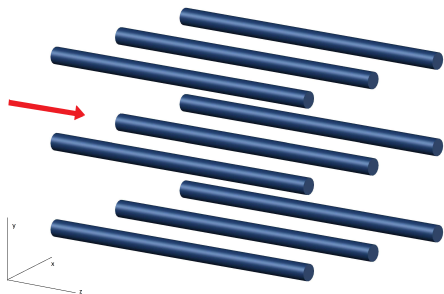


# Diskretna 3D fotonička rešetka u sustavu 2D vezanih valovoda

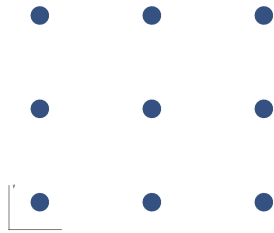
Mihovil Bosnar  
Mentor: Prof. dr. sc. Hrvoje Buljan

## Problem

- ▶ Promatra se sustav slabo vezanih valovoda translacijski invarijantan u smjeru  $z$  te reducirane translacijske invarijantnosti u okomitoj ( $x$ - $y$ ) ravnini (fotonička rešetka)
- ▶ Rešetke i drugi diskretni sustavi mogu imati dimenziju veću od kontinuiranog prostora u kojem se nalaze pod određenim uvjetima  $\Rightarrow$  traži se kako teoretski ostvariti te uvjete u sustavu 2D valovoda i dobiti 3D rešetku u presjeku sustava

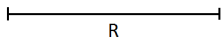


Promatrani sustav



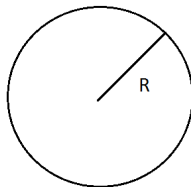
Presjek sustava

# Dimenzionalnost u jednostavnim kontinuiranim sustavima



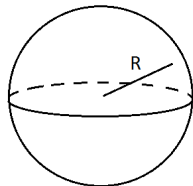
**1D**

$$V \sim R$$



**2D**

$$V \sim R^2$$



**3D**

$$V \sim R^3$$

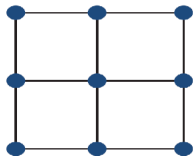
- ▶ Volumen u kontinuiranim sustavima:

$$dD : V \sim R^d$$

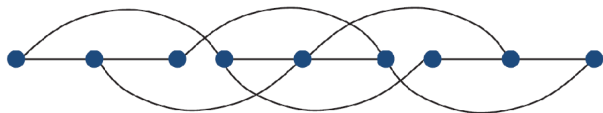
# Dimenzionalnost u složenim diskretnim sustavima



1D



2D



?



# Matematička teorija

- ▶ Matematički: Rešetka  $\rightarrow$  graf s prostornom grupom; graf - sustav točkaka (vrhova) povezan crtama (bridovima)
- ▶ Volumen u diskretnim sustavima  $\rightarrow$  broj vrhova  $N$  unutar  $l$  koraka od jednog brida  
Analogno kontinuiranim sustavima:

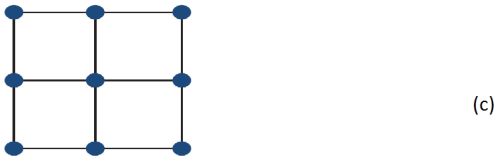
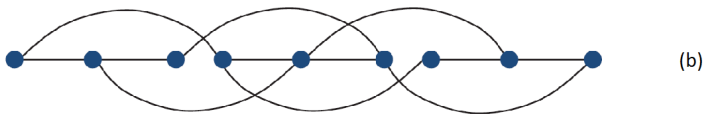
$$dD : N \sim l^d$$

- ▶ Ekvivalentna definicija preko metode brojanja kutija:

$$M \sim l^{-d}$$

$M$  - minimalni broj kutija potrebnih za prekrivanje sustava

- ▶  $d$  općenito nije jednak dimenziji kontinuiranog prostora u kojem se diskretni sustav nalazi  $\Rightarrow$  govori o složenosti sustava



(a) 1D sustav u 1D prostoru, (b) 2D sustav u 1D prostoru, (c) 2D sustav u 2D prostoru

⇒ Treba prekinuti vezu između bliskih valovoda i uspostaviti je između dalekih

# Svjetlost u fotoničkim sustavima

- ▶ Maxwellove jednadžbe u nemagnetskom linearnom materijalu bez slobodnih struja i naboja:

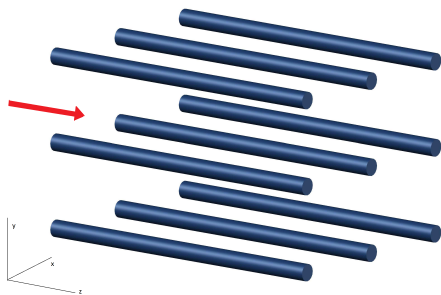
$$\vec{\nabla} \cdot (\epsilon(x, y)\vec{E}) = 0$$

$$\vec{\nabla} \cdot \vec{H} = 0$$

$$\vec{\nabla} \times \vec{E} = -\mu_0 \frac{\partial \vec{H}}{\partial t}$$

$$\vec{\nabla} \times \vec{H} = \epsilon(x, y) \frac{\partial \vec{E}}{\partial t}$$

- ▶ Svođenje na dvije jednadžbe: jednu za  $\vec{E}$  i drugu za određivanje  $\vec{H}$  iz poznatog  $\vec{E}$



- ▶ Rotacija Faradayevog zakona:

$$\vec{\nabla} \times (\vec{\nabla} \times \vec{E}) = -\mu_0 \frac{\partial}{\partial t} \vec{\nabla} \times \vec{H}$$

- ▶ Lijeva strana:

$$\vec{\nabla} \times (\vec{\nabla} \times \vec{E}) = \vec{\nabla}(\vec{\nabla} \cdot \vec{E}) - \vec{\nabla}^2 \vec{E}$$

- ▶ Desna strana prema Ampereovom zakonu:

$$-\mu_0 \frac{\partial}{\partial t} \vec{\nabla} \times \vec{H} = -\mu_0 \epsilon(x, y) \frac{\partial^2 \vec{E}}{\partial t^2}$$

- ▶ Ukupno, jednačba za  $\vec{E}$ :

$$\vec{\nabla}(\vec{\nabla} \cdot \vec{E}) - \vec{\nabla}^2 \vec{E} = -\mu_0 \epsilon(x, y) \frac{\partial^2 \vec{E}}{\partial t^2}$$

## Sređivanje jednačbe za $\vec{E}$

- ▶ Prema Gaussovom zakonu:

$$\vec{\nabla} \cdot (\epsilon(x, y)\vec{E}) = \vec{E} \cdot \vec{\nabla}\epsilon(x, y) + \epsilon(x, y)\vec{\nabla} \cdot \vec{E} = 0$$

- ▶ Ako polje oscilira mnogo brže od dielektrične funkcije:

$$\epsilon(x, y)\vec{\nabla} \cdot \vec{E} \approx 0$$

⇒ polje je otprilike transverzalno

- ▶ U jednačbi za  $\vec{E}$  eliminira se prvi član:

$$\vec{\nabla}^2 \vec{E} = \mu_0 \epsilon(x, y) \frac{\partial^2 \vec{E}}{\partial t^2}$$

- ▶ Ovo je poznata valna jednačba

# Vremenska ovisnost i jednačba za $\vec{H}$

- ▶ Pretpostavi se oscilatorna vremenska ovisnost:

$$\vec{E}(\vec{r}, t) = \vec{E}(\vec{r})e^{-i\omega t}$$

$$\vec{H}(\vec{r}, t) = \vec{H}(\vec{r})e^{-i\omega t}$$

- ▶ Uz  $c^2 = \frac{1}{\mu_0\epsilon_0}$ :

$$\vec{\nabla}^2 \vec{E} = -\frac{\omega^2}{c^2} \epsilon_r(x, y) \vec{E} \quad (1)$$

- ▶ Uvrštavanjem ovisnosti polja  $\vec{H}$  u Faradayev zakon i izražavanjem polja:

$$\vec{H} = \frac{1}{i\omega\mu_0} \vec{\nabla} \times \vec{E} \quad (2)$$

- ▶ Jednačbe (1) i (2) su tražene jednačbe.

## Sređivanje jednažbe za $\vec{E}$

- ▶ Pretpostavka oblika za  $\vec{E}$ :

$$\vec{E} = \psi(x, y, z)e^{ikz}\hat{e}$$

- ▶ Uvrštavanjem u (1) i sređivanjem:

$$\vec{\nabla}^2\psi + 2ik\hat{z} \cdot \vec{\nabla}\psi - k^2\psi = -\frac{\omega^2}{c^2}\epsilon_r(x, y)\psi$$

- ▶ Indeks loma:  $n(x, y) = \sqrt{\epsilon_r(x, y)} = n_0 + \delta n(x, y)$   
Pretpostavimo  $n_0 \gg \delta n(x, y) \implies$  ostavljaju se samo doprinosi prvog reda u  $\delta n \implies \epsilon_r(x, y) \approx n_0^2 + 2n_0\delta n(x, y)$
- ▶  $\omega$  i  $k$  se mogu povezati disperzijskom relacijom za homogeni dielektrik:

$$\omega = c\frac{k}{n_0}$$

- ▶ Najniži red varijacije omjera  $\frac{k}{n}$  je najmanje drugi pa se odbacuje

# Paraaksijalna aproksimacija

- ▶ Eliminacijom  $\omega$  i  $\epsilon_r$  te sređivanjem:

$$\frac{\partial^2 \psi}{\partial x^2} + \frac{\partial^2 \psi}{\partial y^2} + \frac{\partial^2 \psi}{\partial z^2} + 2ik \frac{\partial \psi}{\partial z} = -2k^2 \frac{\delta n}{n_0} \psi$$

- ▶ Paraaksijalna aproksimacija:  $\left| \frac{\partial^2 \psi}{\partial z^2} \right| \ll \left| 2ik \frac{\partial \psi}{\partial z} \right|$

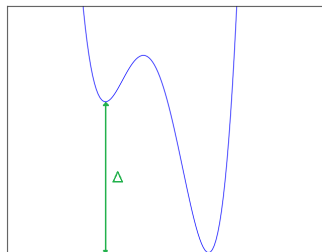
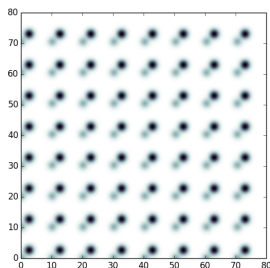
$$\Rightarrow i \frac{\partial \psi}{\partial z} = -\frac{1}{2k} \left( \frac{\partial^2}{\partial x^2} + \frac{\partial^2}{\partial y^2} \right) \psi - k \frac{\delta n}{n_0} \psi$$

- ▶ Jednadžba za  $\psi$ , a time i  $\vec{E}$  svodi se na 2D vremenski ovisnu Schrödingerovu jednadžbu → mogućnost modeliranja QM sustava



# Presjek sustava valovoda

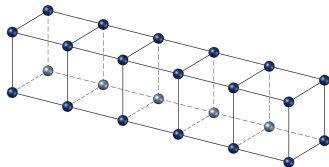
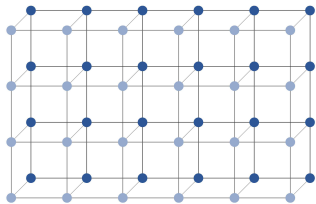
$$\delta n_L = \delta n_{L0} \sum_{mn} e^{-\frac{(\vec{r}-\vec{R}_{mn})^2}{2\sigma^2}} + (\delta n_{L0} + \Delta) \sum_{mn} e^{-\frac{(\vec{r}-\vec{R}_{mn}-\vec{D})^2}{2\sigma^2}}$$



- ▶ Jačina vezanja mjesta  $mn$  i  $m'n'$  u aproksimaciji slabog vezanja valovoda:  $J \sim \sum_{jk} \int \chi_j^{(mn)} \delta n \chi_k^{(m'n')*} dV$

# Ideja

- ▶ Treba pronaći konstante potencijala takve da je veza jaka samo između elemenata baze te između elemenata baze na istim mjestima u različitim ćelijama → rešetka je ekvivalentna sloju tetragonskih ćelija
- ▶ Veza slabi s udaljenošću (manji preklap) i razlikom u indeksu loma (izlazak iz rezonancije)



Shema traženog presjeka rešetke    Ekvivalentni sloj tetragonskih ćelija

# Konstante

- ▶ Izaberu se konstante i prati intenzitet  $I \sim \vec{E}^2 \sim |\psi|^2$  u ovisnosti o z:
  - ▶ Valna duljina:  
 $\lambda = 500 \times 10^{-3} \mu\text{m} \Rightarrow k = \frac{2\pi n_0}{\lambda} \approx 28.9 \mu\text{m}^{-1}$
  - ▶  $n_0 = 2.3$  (indeks loma stroncij-barij niobata  $\text{Sr}_x\text{Ba}_{1-x}\text{Nb}_2\text{O}_6$ )
  - ▶  $\delta n_{L0} = 2 \times 10^{-3}$
  - ▶  $a = 10 \mu\text{m}$
  - ▶  $\sigma = 0.1a$
  - ▶  $b_x = b_y = 0.25a$
  - ▶  $z_0 = 0$
  - ▶  $z_{max} = 20\text{mm}$
  - ▶  $\Delta z = 1 \mu\text{m}$
- ▶ Evolucija se računa numerički u Pythonu implementacijom *Split step FFT* metode

# Split-step FFT metoda

- ▶ Operator evolucije:

$$i \frac{\partial}{\partial z} \psi(x, y, z) = \hat{H} \psi(x, y, z)$$

$$\psi(x, y, z_0 + \Delta z) = e^{-i\hat{H}\Delta z} \psi(x, y, z_0)$$

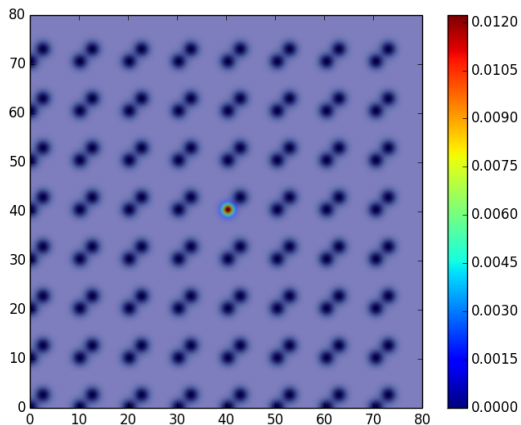
$$\hat{H} = -\frac{1}{2k} \vec{\nabla}^2 - \frac{k\delta n}{n_0}$$

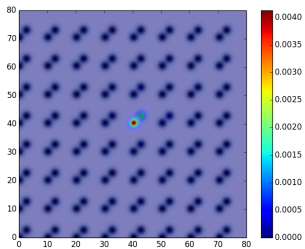
- ▶ Prvi član operatora dijagonalan je u recipročnom prostoru, dok je drugi dijagonalan u direktnom prostoru
- ▶ Split step metoda:
  1. Pola koraka u direktnom prostoru
  2. FFT
  3. Cijeli korak u recipročnom prostoru
  4. IFFT
  5. Pola koraka u direktnom prostoru
- ▶ Metoda je stabilna i unitarna; rastavljanje operatora daje pogrešku reda veličine  $\Delta z^3$

# Evolucija za $\Delta = 0$

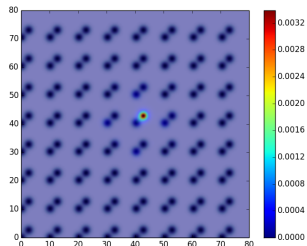
► Početni uvjet:

$$\psi(x, y, z = 0) = \frac{1}{2\pi\sigma^2} e^{-\frac{(x-4\sigma)^2}{2\sigma^2} - \frac{(y-4\sigma)^2}{2\sigma^2}}$$

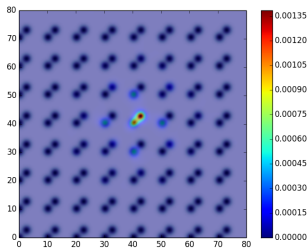




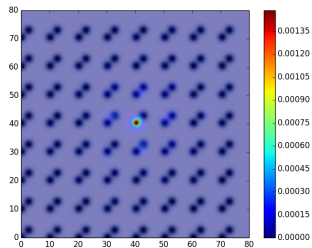
$z = 2.5\text{mm}$



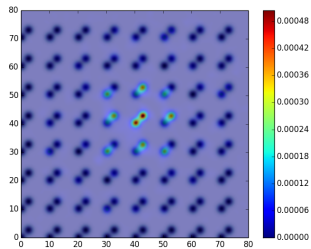
$z = 5\text{mm}$



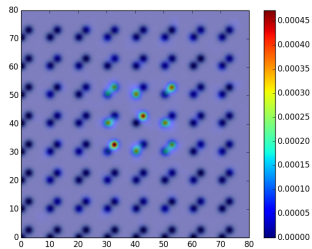
$z = 7.5\text{mm}$



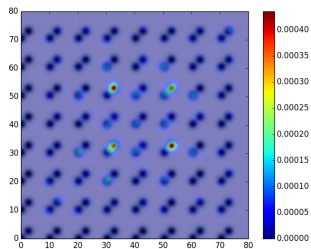
$z = 10\text{mm}$



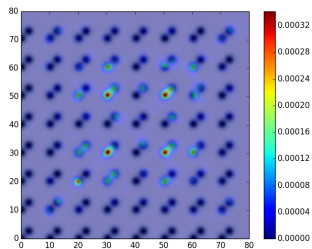
$z = 12.5\text{mm}$



$z = 15\text{mm}$



$z = 17.5\text{mm}$

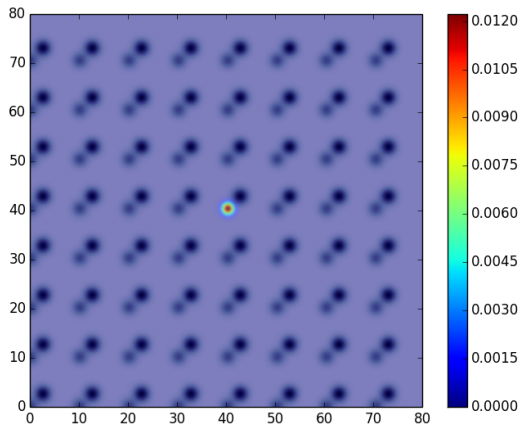


$z = 20\text{mm}$

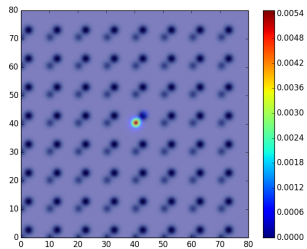
# Evolucija za $\Delta = n_{L0}$

► Početni uvjet:

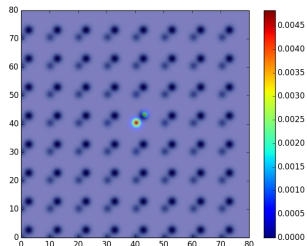
$$\psi(x, y, z = 0) = \frac{1}{2\pi\sigma^2} e^{-\frac{(x-4\sigma)^2}{2\sigma^2} - \frac{(y-4\sigma)^2}{2\sigma^2}}$$



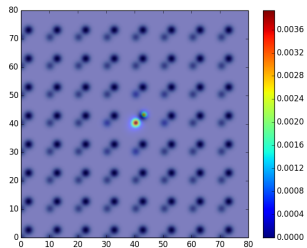




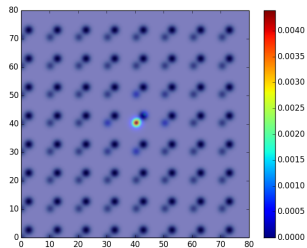
$z = 2.5\text{mm}$



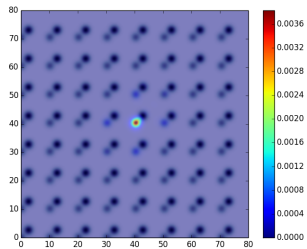
$z = 5\text{mm}$



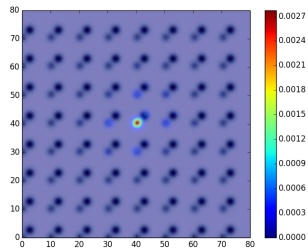
$z = 7.5\text{mm}$



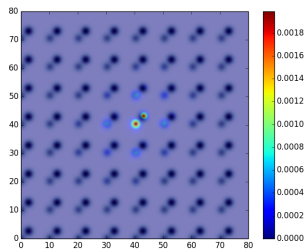
$z = 10\text{mm}$



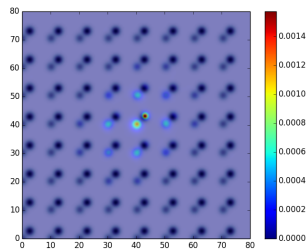
$z = 12.5\text{mm}$



$z = 15\text{mm}$



$z = 17.5\text{mm}$

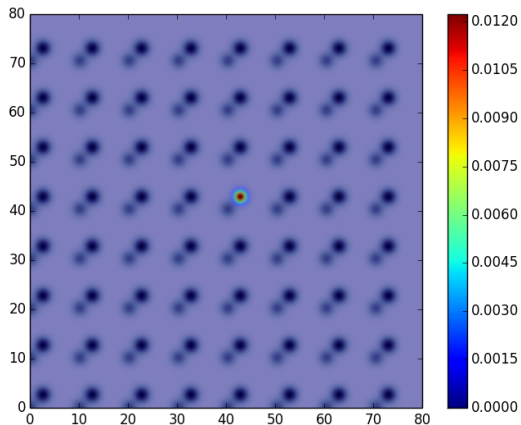


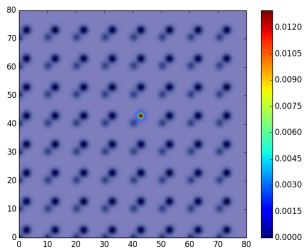
$z = 20\text{mm}$

# Evolucija za $\Delta = n_{L0}$

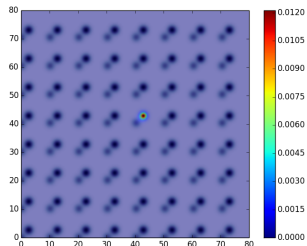
► Početni uvjet:

$$\psi(x, y, z = 0) = \frac{1}{2\pi\sigma^2} e^{-\frac{(x-4a-bx)^2}{2\sigma^2} - \frac{(y-4a-by)^2}{2\sigma^2}}$$

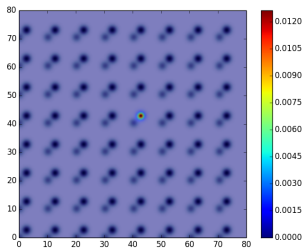




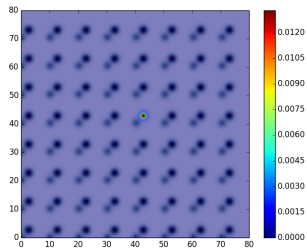
$z = 2.5\text{mm}$



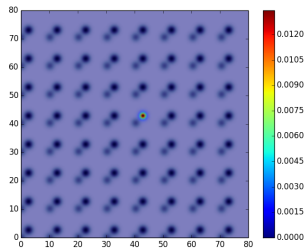
$z = 5\text{mm}$



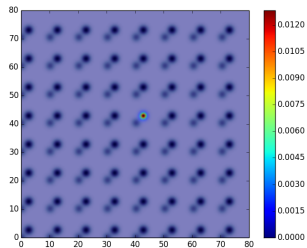
$z = 7.5\text{mm}$



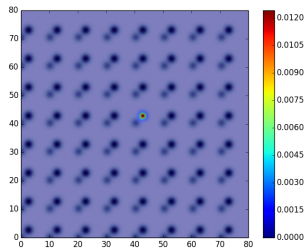
$z = 10\text{mm}$



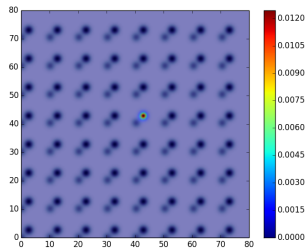
$z = 12.5\text{mm}$



$z = 15\text{mm}$



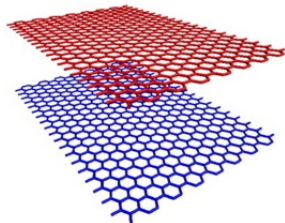
$z = 17.5\text{mm}$



$z = 20\text{mm}$

## Komentar

- ▶ Podizanje indeksa loma jednog od valovoda daje dobro tuneliranje između valovoda s nižim indeksom loma
- ▶ Tuneliranje između valovoda s višim indeksom loma ne postoji za  $\Delta = \delta n_{LO}$
- ▶ Za  $\Delta = 0.5n_{LO}, 0.4n_{LO}, 0.25n_{LO}$  tuneliranje se bitno pojačava samo između elemenata baze
- ▶ Moguće rješenje pomoću *grating assisted tunnelinga* → rešetka periodična u z smjeru vraća tuneliranje analogno laserski potpomognutom tuneliranju u sustavu hladnih atoma
- ▶ Ako se postigne željeno tuneliranje, u sustavu 2D vezanih valovoda mogla bi se konstruirati rešetka bigrafena (*bilayer graphene*) i pročitavati njena svojstva ili pak proučavati solitone u 3D



Wei Han, Roland K.  
Kawakami, Phys. Rev. Lett.  
107, 047207 (2011)

# Literatura

- ▶ J. D. Joannopoulos, S. G. Johnson, J. N. Winn, R. D. Meade *Photonic Crystals - Molding The Flow Of Light* Princeton University Press, Princeton, 2008
- ▶ D. Jukić, H. Buljan *Four-dimensional photonic lattices and discrete tesseract solitons*, Phys. Rev. A 87, 013814 (2013)
- ▶ C. Song, L. K. Gallos, S. Havlin, H. A. Makse *How to calculate the fractal dimension of a complex network: the box covering algorithm*, J. Stat. Mech. Theo. Exp. 03, P03006 (2007)
- ▶ T. Dubček et al. *The Harper - Hofstadter Hamiltonian and conical diffraction in photonic lattices with grating assisted tunneling* New J. Phys. 17, 125002 (2015)
- ▶ H. Miyake et al. *Realizing the Harper Hamiltonian with Laser - Assisted Tunneling in Optical Lattices*, Phys. Rev. Lett. 111, 185302 (2013)
- ▶ T. Nikšić *Seminar iz kvantne fizike - zimski semestar*
- ▶ P. W. Milonni, J. H. Eberly *Laser Physics*, J. Wiley & Sons, Inc., Hoboken, 2010